

# II-166 蛇行の発達に関する水理学的考察

京都大学 防災研究所 正会員 村本嘉雄

京都大学 防災研究所 正会員 ○ 藤田裕一郎

1. まえがき 蛇行流路の形成過程に関する従来の研究は、その平面形状からより蛇行のピーク部や転向部の横断面形状の変動過程の定性的な記述が主であり、1蛇行波長区間にわたり変動を定量的に把握したもののは実験データにも少ない。本文は、この変動の定量的把握を目的として大型水路で綿密な測定を行った実験(下表)結果の検討を述べ、それに基いて蛇行発達過程への流路変動の一次元解析法の適用性について考察する。

実験条件：平均粒径(Dm) 0.88mm, 流量 15 l/sec  
水路幅 750cm, 取出汎配 1/200, (傾斜率 0.35‰)

取出汎長 43m, 初期流路形状:台形 (90-50-10°)

2. 蛇行の発達過程 通水に伴って流路は一様に拡幅し同時に砂州も発達し、次第に水流に偏りを生じ砂州の進行は緩慢となつて水衝部が固定化する。砂州と水衝部の対は上流から他の砂州が流下しない限り維持されて蛇行拡幅が進行する。この過程での土砂收支の検討結果から、侵食と堆積は対になつて生じ、いくに蛇行弯曲部では拡幅量に匹敵する砂州の張出し量があつて、主流路の幅は一定に保たれると認められた。また、観察によれば、砂州上に拠がつた水流は前線で順次渦筋に集中して弯曲凹岸に沿つて主流を形成し、再び砂州上に拠がる。この主流に沿う土砂の移動状況から考察すると、蛇行の発達機構は、1)主流に沿う河床変動機構、2)弯曲凹岸の側方侵食機構、3)砂州の発達機構の3者が結合したものと考えられる。

3. 蛇行発達時の流砂量と側岸侵食量 流路幅B<sub>0</sub>と流砂幅B<sub>s</sub>の時間的变化を示すと図-1のようであつて、6<sup>h</sup>前後に一様拡幅から蛇行拡幅に移行し、B<sub>0</sub>は急激に増大するが、B<sub>s</sub>は9<sup>h</sup>46'、12<sup>h</sup>07'とも同範囲をB<sub>0</sub>と逆位相で振動し上述の主流路に対応し、極小値は凹岸にあつて一様拡幅の最終幅と同程度である。下流端流砂量と平均流速との関係を無次元化して蛇行時と直線時とを比較して図-2に示す。両者は同じ範囲にあつて、 $U/(D_m \sqrt{g} L) = 2.5$ 付近が限界値とみなせ、蛇行による明確な影響は現われていない。つきに、蛇行発達時の側岸侵食速度 $\Delta A_s/t$ の分布を示すと図-3のようである。各弯曲部での $\Delta A_s/t$ の分布は下流側にピークのずれた非対称形で、流下方向に蛇行が発達していく状態を表わしている。下流端の段落ちの影響によって最下流の弯曲は2段階ともピークが高くなっている。また、9<sup>h</sup>46'~12<sup>h</sup>07'のx=15~20mでは上流側の蛇行位相の変化によってピークが乱れています。しかし、6<sup>h</sup>00'~9<sup>h</sup>46'の3弯曲はほぼ同一の分布形を呈し、流下方向に一様に蛇行が発達しておらず、9<sup>h</sup>46'~12<sup>h</sup>07'のx=24~32mの弯曲も類似の分布を示し、一様な発達過程を保持していると考えられる。

一様な蛇行発達過程の側岸侵食速度の平均値は一様拡幅時の平均値と同程度の大きさであった。一様発達時の単位水深当たりの側岸侵食量 $q_{s,h}$ ととの関係を無次元化して一様拡幅時の比較して示すと図-4のようであつて、図-2と同様両者は同一範囲に入り、 $U/(D_m \sqrt{g} L) = 2.5$ 付近に限界値がある。一様発達時の水理量は $B_s$ に対応して算定したものと用いてあるが、水面幅による水理量で

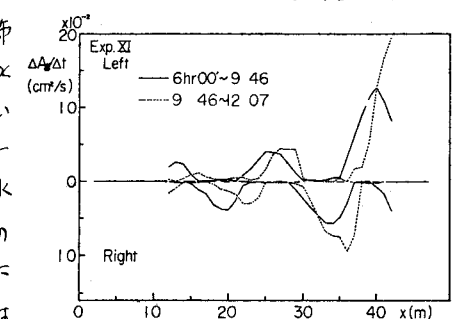
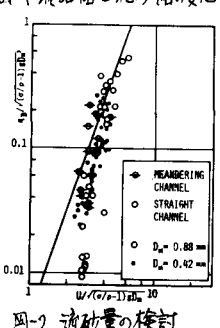
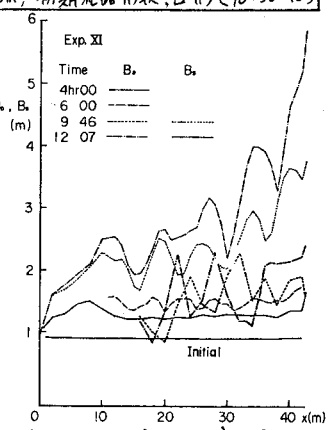


図-3 蛇行弯曲部の側岸侵食速度の分布

は点は左にはずれることや転向部での  $\beta_{sh}$  は小さいなどから蛇行拡幅は弯曲岸に集中して主流の平均流速に支配されると思われる。最後に、側岸侵食量、砂州発達量（河床堆積量）と流砂量との関連を  $94.76^{\circ} - 124.07^{\circ}$  の土砂収支から逆算して示すと図-5となる。 $Z=33m$  より下流では砂州発達量と側岸侵食量との差が大きく急激に流砂量が増大しているが、一様断面に近い  $Z=24m$ ~ $30m$  では两者はほぼ釣合い、流砂量は弯曲部で減少、転向部で増加している。側岸侵食量は海岸の砂州にはほとんど堆積せず主流路の流砂になると考えられるので、これを累加して示すと破線のように転向部ではほぼ流砂量に一致し、上流からの流砂はほとんど弯曲部を通過せず、砂州の発達に消費されることは半径。

## 5. 蛇行発達過程の解析

界条件の設定が困難であるため、ここでは側方侵食を伴う河床変動の一次元解析を上述の一様蛇行発達過程に適用する方法を検討する。一様発達過程では各弯曲間の距離 $s$ には伸縮かなく、主流の列州上への流出条件が列州からの流入条件として用いられる。水

衝部の固定した段階で、図-6に示すように、初期流路底面の中心線をx軸、横方向にy軸、移動する直交曲線座標系をy<sub>1</sub>平面上で主流路の中心線に沿ってz<sub>1</sub>軸、二れと直交する橋方向にz<sub>2</sub>軸、上方向にy<sub>2</sub>軸とする。主流断面を砂州前縁 Bedy<sub>1</sub>から凹岸Bout<sub>1</sub>に至る広長方形、砂州上では弯曲の出口<sub>1</sub>: $x_1=x_2$ から $2\pi m_0\theta_1$ で括がる幅の広長方形(点線)で仮定し、砂州上の各主流断面が前縁と交わる点の単位幅流量 $q_1$ の下流側の主流軸に直角な成分が強制流入すると仮定する。同様に $q_1$ の直角成分も流入するが、これは前縁が張出すのに消費されると考える。また砂州上の主流路からは流出量 $q_{out}$ があり、 $q_{out}$ に比例する流出土砂量 $q_s$ があり、 $q_s$ が主流路以外の砂州高さを上昇せらとする。以上から基礎式はつきのようにまとめられるが、ほとんどの記号は慣用通りである。

$$\frac{d(CB8f)}{dx_1} = \begin{cases} 8i_{in} & (dx_1 < x_0) \\ 8i_{out} & (x_0 < x_1) \end{cases} \quad \text{--- ①} \quad \left( \frac{dQ^2}{\partial B^2 H} - \lambda \right) \frac{dh}{dx_1} + \frac{Q^2}{C B^2 H} = - \frac{dQ^2}{\partial B^2 H} \left( \frac{\partial B}{\partial x_1} + \frac{3}{2} \frac{\partial}{\partial Q} B \right) + 8 \frac{dQ}{\partial x_1} - i = 0 \quad \text{--- ②}$$

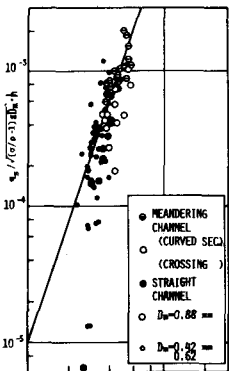
$$(1-\lambda) \frac{\partial}{\partial t} (\bar{B}_2^2) + \frac{\partial}{\partial x_i} (\bar{B}_{0i}^2) = \begin{cases} -8s & (0 < x_i < x_0) \\ -8s & (x_i > x_0) \end{cases} \quad \text{--- ③} \quad \bar{B}_B = 0.01 U^3 D_m / \left( (P_{\text{c}} - 1) g D_m \right)^{\frac{3}{2}} \quad \text{--- ④}$$

$$g_{B_0} = C_B \cdot g_{\text{out}} = C_B \cdot C_{\text{out}} (h + z - s)^{\frac{3}{2}} \quad (5)$$

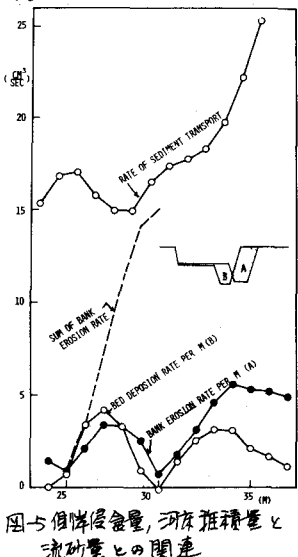
$$B_{B0} = C_B \cdot f_{out} = C_B \cdot C_{out} (h+z-S)^{\frac{2}{3}} \quad \text{--- (5)} \quad B_S = (1-\lambda)(D-2) \frac{\partial B_{B0}}{\partial t} = 10^{-3} U^3 h / \{(C_B - 1) f_{DM}\} \quad \text{--- (6)}$$

ニニニ、④、⑤式はそれそれ図-2,4の直線であり、 $\lambda$ 、 $\gamma$ は平均化の係数、 $\lambda$ は筋の間隔を率/100、 $C_0$ 、 $C_{out}$ は定数、 $D$ は河岸高である。解析は基礎式を差分化して、①、②式から、 $J$ を求め、③～⑥式で1stepの変動を算定し、 $x$ 、 $y$ 座標に変換後、新しい $x$ 軸について再び繰返す方法をとるが、②式による算定が困難であるため摩擦こう配を  $x_1=0$  で 0.002、 $x_2=x_0$  で 0.007、砂州の終端で 0.002 と仮定して解析した結果が図-6に示してある。初期条件は 6'00' の実験値を理想化した図中の太線で与えた。凹岸の傾向に対応しているが、河床変動算定の誤差のために前線の張出しが伴わなかつた。

6. あとがき 滝行流路の発達について、実験結果のうち主に流域面積と側岸侵食量に着目して検討を加え、流下方向に一様な滝行が発達する可能性を示して、この発達過程の一次元的解析法の適用を考察した。今後解析法をより現象に適合する形に改め、基礎式の性質を検討するとともに、精度の高い数値解析を行いたい。



#### 四-4 側岸侵食量の 検討



## 干涸と侵食量、河床堆積量と 流砂量との関連

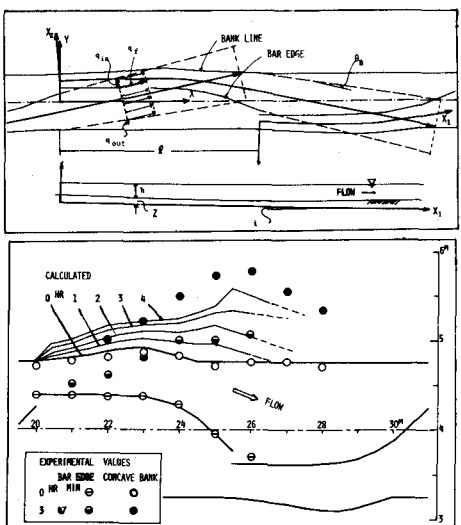


圖-6 座標系(上)與解析結果(下)